SЫДЫЦЧЫГ ДИЗЧИЧИЬ ОВЯ ЧЬЯПЬРЗПЬБЬВРЬ ИЧИЧЬГЬИЗЬ ИЗВЕСТИЯ АКАДЕМИИ НАУК АРМЯНСКОЙ ССР

Зра,-ишр., рб. 1 мор. арминр. 1, № 6, 1948 Физ-мат. естеств. и тех. науки

СТРСИТЕЛЬНАЯ ТЕХНИКА

М. В. Касьян и А. А. Аконов

К вопросу о резании туфа

Основным строительным стеновым материалом для возведения гражданских и промышленных сооружений в Армянской ССР являются естественные камни. Вопросы удешевления одного из наиболее трудоемких процессов-обработки (тески) камня и высвобождения значительного количества квалифицированной рабочей сиды являются актуальными. Для выявления эффективных способов и режимов механической обработки естественных камней резанием и установления основных параметров проектируемых камнережущих станков Институт Стройматериалов и Сооружений АН Арм. ССР с начала 1948 г. проводит специальные экспериментальные исследования. Данные экспериментов должны служить основанием для выявления наиболее износоустойчивого материала режущего инструмента, его оптимальной формы, наивыгоднейшие режимы и принципы работы. Эти данные в значительной своей части дополненные энергетическими показателями, будут приняты в основу определения типа и конструкции станков, коими будут оснащены как специальные камнеобрабатывающие предприятия, так и строительные площадки. Наряду с этим, механическая обработка содействует улучшению некоторых физикомеханических свойств камня. Отходы, образуемые при механической обработке камня, являются ценным материалом и могут быть эффективно использованы.

Изучением эксплоатируемых камнерезных станков Республики [1] установлено наличие резких расхождений во всех основных показателях их действия, а именно: режимов резания, потребляемой мощности, удельного расхода электроэнергии, производительности и качества обработанных поверхностей. В связи с этим лабораторному изучению в Институте подвергались вопросы, выявляющие целесообразные условия обработки камней резанием. Для установления оптимальной зоны режимов резания была экспериментально изучена работа однозубой торцевой фрезы. Режимное поле при этом характеризовалось следующими показателями:

- Диапазон скоростей резания составлял 27,5 ÷ 424 м/мин.
- 2. Подача на зуб менялась в пределах от 0,4 до 1,8 мм/зуб.
- 3. Глубина резания-от 2 до 8 мм.

Лабораторным путем выявлялись следующие функциональные зависимости для каждого из приведенных диапазонов сочетания параметров резания:

 Динамика износа элементов резца в зависимости от продолжительности резания при постоянной его геометрии

$$\Delta_1 = f_1(T); \quad \Delta_2 = f_2(T); \quad \Delta_3 = f_3(T) \quad \Delta_4 = f_4(T)$$

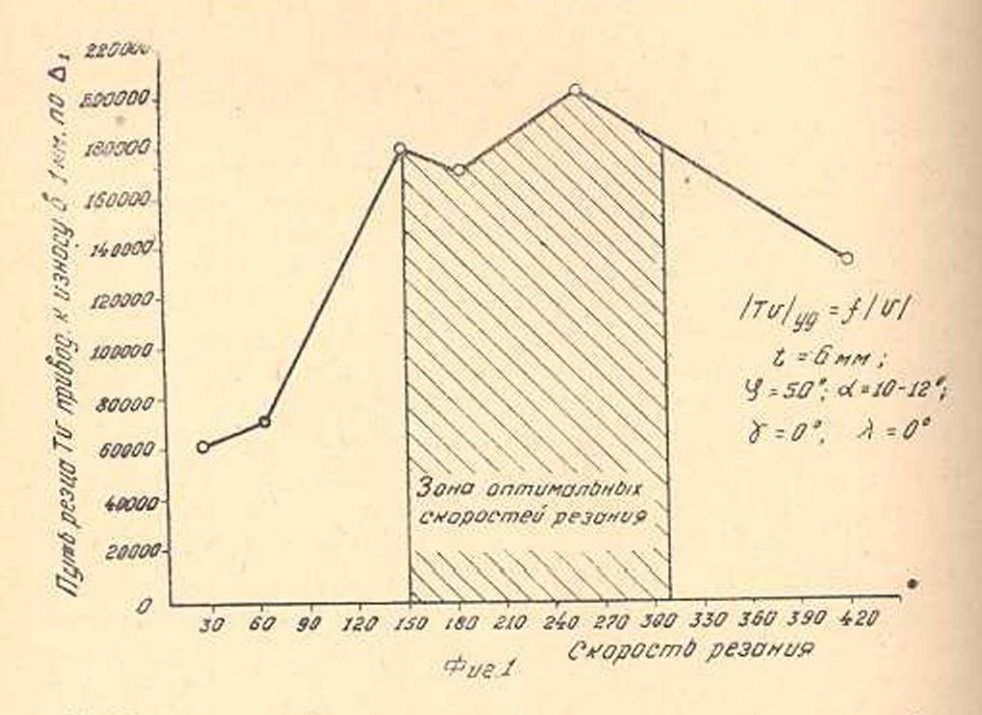
 $a = f_3(T); \quad d = f_6(T); \quad e = f_7(T)$

где Δ_1 ; Δ_2 и т. д. представляют собой меняющиеся размеры площадок износа,

а Т-продолжительность резания.

Эта серия опытов дала возможность:

- а) Выявить наиболее объективный критерий затупления резца;
- б) установить зависимость T=f(v);
- в) определить характер зависимости V=φ(s,t);
- г) установить границы оптимальных режимов резания, приводящих к минимуму износа режущего инструмента по наиболее характерному его элементу;
 - д) оценить кинематические свойства камнережущих станков.
 Некоторые закономерности износа приведены на фиг. 1—6.



II. Показатели удельного расхода энергии при резании туфа

В основу определения этих показателей был принят косвенный метод оценки потребляемой мощности на резание при помощи комплекта электроизмерительных приборов, настроенных по схеме Арона. Эти данные позволили выявить ориентировочную динамическую ха-

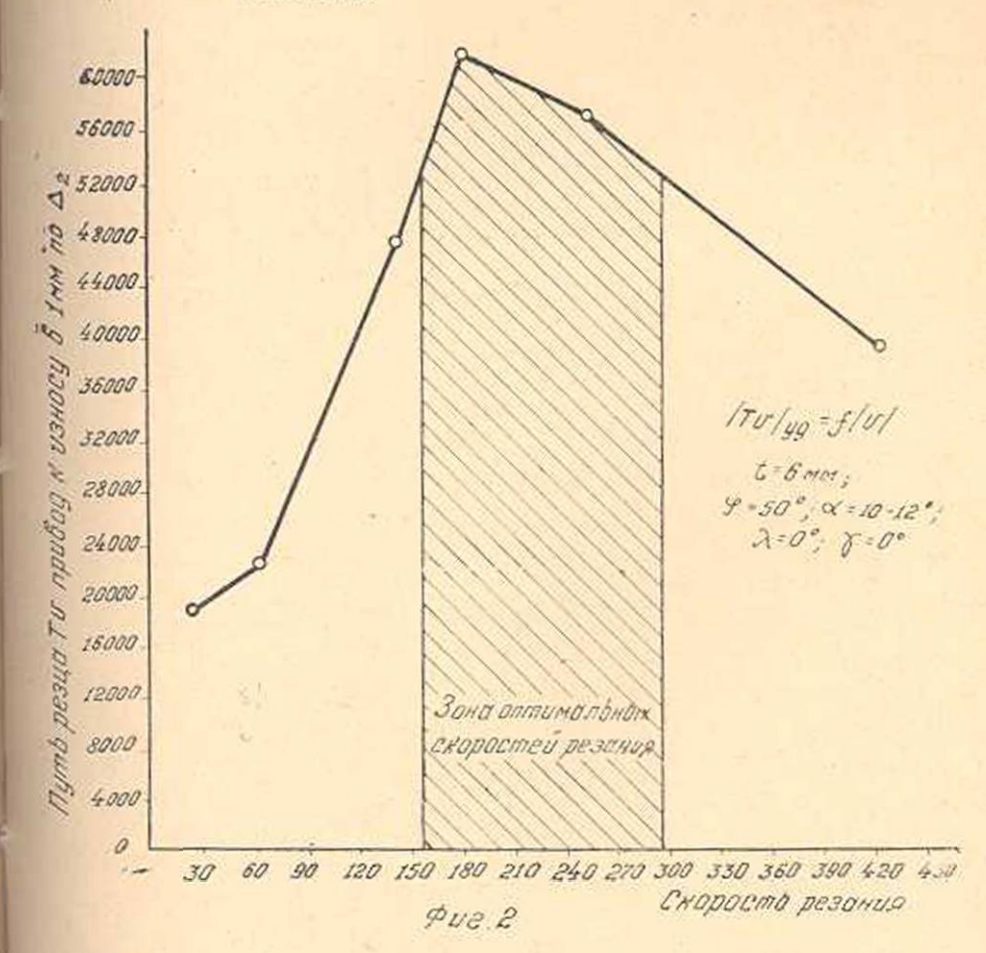
рактеристику процесса резания. Результаты этой серии опытов подтвердили правильность выбранного критерия затупления режущего инструмента и разрешили выявить основную динамическую характеристику проектируемых камнережущих станков.

Анализ полученных результатов показал, что оптимальные скорости резания артикского туфа-при его обработке однозубой торцевой фрезой лежат в зоне 145 ÷ 255 м/мин.

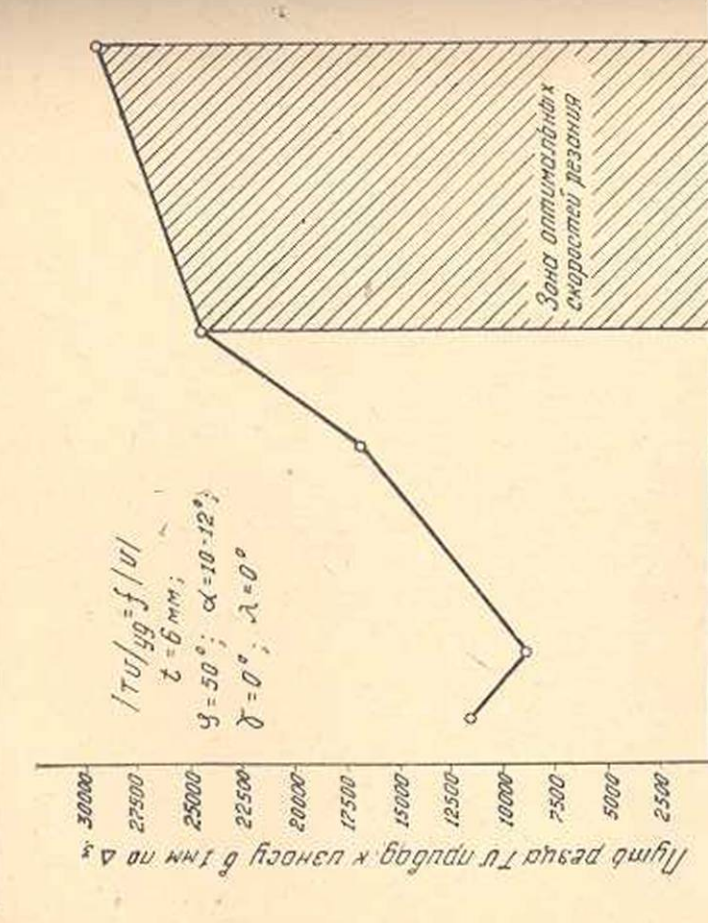
Для этой зоны скоростей зависимость скорости резания V от стойкости Т выражается уравнением

$$V = \frac{A}{T \ 0.22}$$

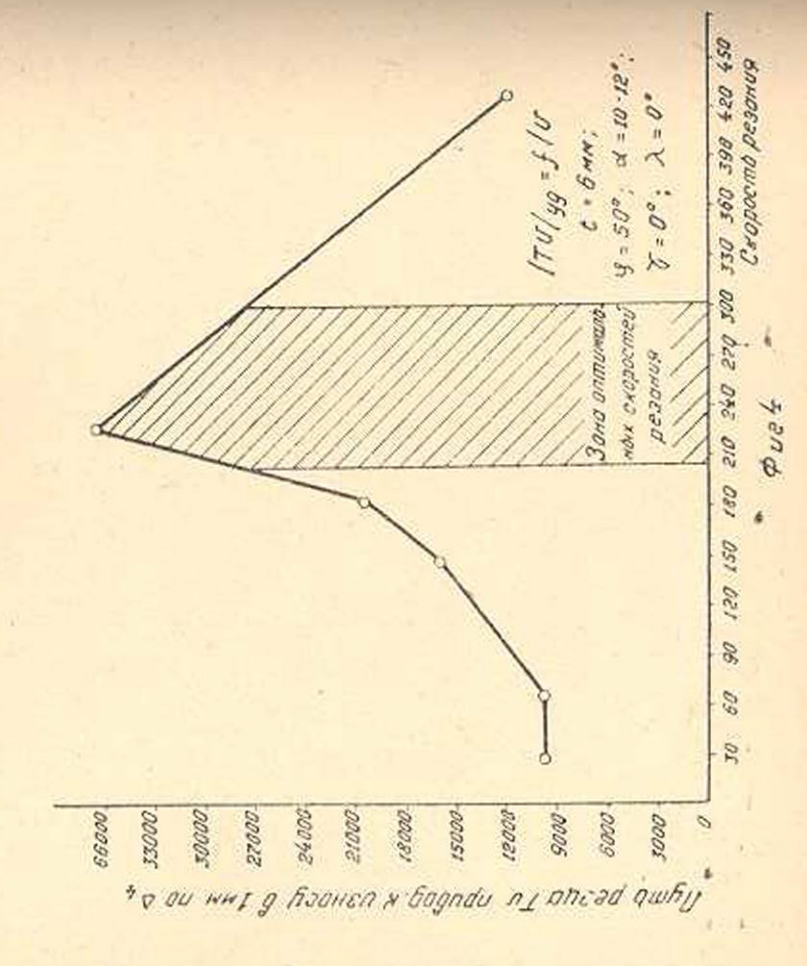
Для правильного выбора материала режущего инструмента и его геометрии были испытаны:

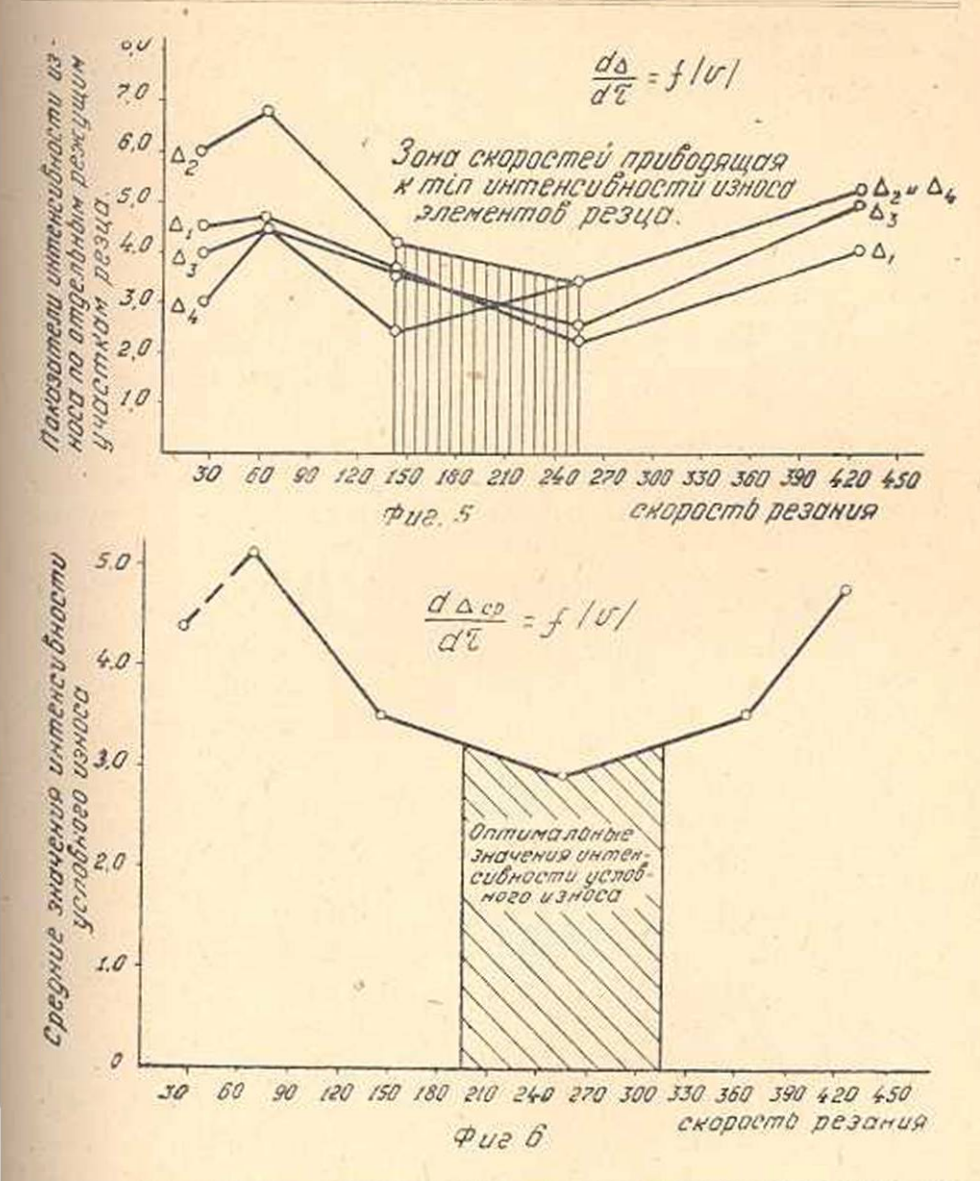


а) Быстрорежущая сталь марки, приближающаяся к РФ—1 и б) хромомарганцевый чугун, отлитый в кокиль специальной конструкции (Сг—5%, Мп—9%, V—1,42%, без термообработки). Сопоставлевие эффективности было проведено в условиях более выгодных для Известия 1, 6—36



Скоросто резания A PUE. 3





быстрореза и чугуна. Несмотря на это, полученные результаты вывудили нас совершенно отказаться от них.

Путь режущего инструмента (T_v), вызывающий износ в радиальном направлении в 1 мм, представлен в табл. 1.

Таблица 1

Материал режущего инструмента	При V =27,5 м/мин.	При V=54 м/мин.
Хромомарганцевый чу- гун	5.400 м/мм	
Быстрорежущая сталь		6.500 м/мм
Твердый сплав ВК-8	77.000 M/MM	104.000 м/мм

Следовательно, стойкость твердого сплава для зоны скоростей резания, наиболее невыгодной для него, оказалась выше такого же показателя хромомарганцевого чугуна

$$\frac{77.000}{5.400}=14,3\,$$
 раза, а быстрорежущей стали $\frac{104000}{6500}=16\,$ раз.

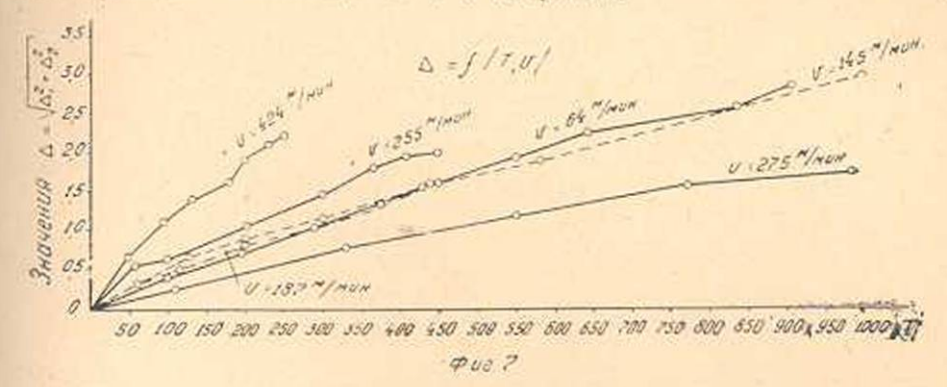
В зонах более высоких скоростей, наиболее эффективных для твердого сплава,его преимущество возрастает еще больше.

Полученные результаты вынудили нас все экспериментальное изучение вести на режущем инструменте, армированном твердым сплавом, и рекомендовать его для производства. Это тем более важно, что пластины из твердого сплава не требуют термообработки и тем самым облегчают его внедрение на стройплощадках. Характер затупления режущего инструмента, независимо от его материала, по профилю и зонам износа, а также по его интенсивности, при резании камня значительно отличается от характера затупления при резании как мягких, так и хрупких металлов. Особенностью износа инструмента при резании камня является его абразивный характер, без штрихов износа и стремление к постепенному переводу всех сопряжений граней резца, выполненных с малыми радиусами к плавным сопряжениям с радиусами 2 + 4.5 мм в зависимости от места сопряжения. Например, радиусы округления в сопряжении передняя-главная задняя грань, со значений 0,15 мм доходят до 1,5-2.0 мм; радиус сопряжения режущих кромок от 0.5 мм доходит до 4-4.5 мм. Точно также возрастает радиус сопряжения главной и вспомогательной задних граней. Все основные размеры площадок износа растут сравнительно равномерно, за исключением длин площадок износа, затрагивающих режущие кромки. Таким образом, закономерность износа режущего инструмента при резании туфа значительно отличается от установденных законов износа трущихся поверхностей, в частности, режущего инструмента, предназначенного для обработки металлом.

Если подобие участка приработки имеет место, то участок нормального и катастрофического износа мы не можем заметить даже при продолжительности работы свыше 30 часов. Это объясняется стабильностью состояния всех элементов, участвующих в резании. Действительно, даже при работе со скоростями резания 424 м/мин., резец оставался холодным и только при наличии на обрабатываемой поверхности посторонних твердых включений температура резца несколько повышалась, доходя до 50—60°С.

Следует тут же отметить, что при малых отношениях площади включений к площади обрабатываемой поверхности влияние их на динамику износа неуловимо. В большинстве случаев имеет место выкорчевывание резцом твердых включений, встречаемых им на своем пути. Это явление вполне естественно, если учесть разность твердостей включения и чистого туфа, а также значительное соотношение плеч при воздействии режущего инструмента.

Последовательность развития площадок износа и их интенсиввость приведена в таблицах 2-7 и на фиг. 7.



Анализ табличных данных достаточно ярко подчеркивает наличие зон скоростей резания при обработке камня, приводящих к мини-

мальному износу режущих поверхностей резца. Для еще большей наглядности на фиг. 7 приведены зависимости $\Delta = f(V_1 T)$,

где
$$\Delta = \sqrt{\Delta_i^i + \Delta_i^i}; \Delta_1 - вы-$$

сота проекции площадки износа по главной задней грани, на основную плоскость;

Δ₂—высота проекции той же площадки на плоскость резания. Остальвые обозначения величин площадок и зон износа см. фиг. 8.

Как видно на фиг. 7, кривые износа при скоростях резания 64; 145 и 187 м/мин. почти совпадают. Это говорит о том, что наиболее производительным режимом резания по скорости, для изученных условий, является скорость V=187 м/мин.

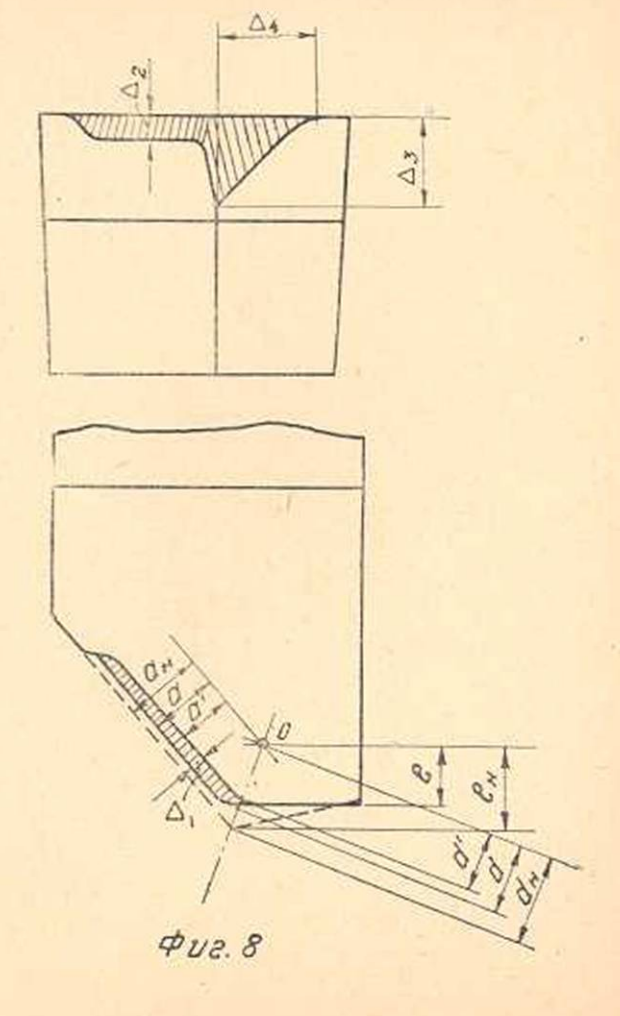


Таблица 2

NeNe m.n.	arora V	Изнашиваемые элементы резца									01
	110 330 650	Δ_1	Δ2	Δs	۵۱	а _н — а	a ₂₁ — a .	р—пр	,p	ее	Постоян- име факто ры реза- вия.
1	110	0.125	0,20	0.64	1,16	0,1	0,23	0,085	0,27	Lei	
2	330	0,265	0.73	1,52	2,56	0,205	0,47	0,385	0,59	0.425	V = 27,5 м/мин.
3	650	0,39	1.14	2,19	3.2	0,305	0,695	0,575	0,84	0.57	t=6 .v.x
4	770	0,49	1,56	2,84	3,9	0,37	0.865	0,74	1,11	0.7	φ=52,5°
5	990	0,545	1,67	3,07	4.1	0.4	0,91	0.76	1,145	0,78	7=0°
6	1210	0,595	1.81	3,25	4.2	0,44	1.035	0.81	1,23	0,815	z=10°
7	1860	0.77	2,46	4.16	5.3	0,575	1,345	1,07	1,74	1,0	λ=0*

Таблица 3

New mm	41000			Изнаш	иваеми	не элем	иенты	резца			10
	Текущее время в мин.	ک	422	$\Delta_{\rm B}$	7	ana	$a_n = a'$	д" — ф	д ^и р	e, e	Постоян- име факто- ры реза- иия
1	98	0,175	0,39	1.44	1,35	0,035	0,21	0,14	0,265	-	V=64 м/мин.
2	196	0,26	0,685	2.2	1,86	0,1	0,36	0,31	0,565	-	t=6_w,w
3	300	0,355	1,05	3,015	2,32	0,155	0,42	0,44	0,69	-	φ=53°
4	440	0,475	1,53	3.9	2,87	0,24	0.715	0.63	0,96		7-0"
5	634	0,61	2,16	4,97	4.25	0,355	0,99	0.82	1,345		α == 10°
6	830	0,715	2,465	6,0	5,4	0,44	1,22	1,145	1,495		λ-0"
7	912	0.82	2,685	6,52	6,09	0,52	1,34	1,425	1.62		

Таблица 4

	41			Изнаш	нваемі	ле эле	менты	резца			10.
NeNe n.n.	Текущее время в мин.	7,	Δ3	Δ	۵,	ан а	a _m —a'	д ^н — д	'b— нр	а— по	Постоян- име факто- ри реза- ияз,
1	128	0,245	0,625	1,39	3,10	40.	-	-	=		V=145 м/мин.
2	200	0,316	0,87	1,84	3.85	PER	-	-	-	-	t=6 мм
3	300	0,42	1,06	2,18	4.78		2	-		-	γ=0°
4	446	0,5	1,53	3,095	5,26		-	-	-	===	λ=0°
5	585	0,63	1,80	3,51	5,5						a=10*
6	995	0,865	2,945	5,22	-			6 1	4		φ=50°
7	1360	1,08	3,965	6,88	==		1	1			

Таблица 5

			1	Изпа	шивез	Изпашивемые элементы резца											
NeNe m.m.	Текущее время в мин.	Δ	12,7	Δg	Δ_4	3 ₁₀ —3	3 ₁₁ _ 11,	p-"p	d_n-d'	ен —е	Постови- ные факто ры реза- няя.						
1	58	0.15	0,3	1,33	1,73	0,035	0,185	0,175	0.31	0,345	V-187 м/мин.						
2	116	0,24	0,465	1,96	2.55	0,065	0,305	0,275	0,42	0,43	t=6 .u.u						
3	202	0,33	0.76	2,9	3,46	0,135	0,465	0,44	0,67	0.65	7=0"						
4	288	0,365	1,02	*3,71	4,45	0,215	0.58	0.49	0.77	0,86	λ=0*						
ħ	374	0.42	1,30	4,355	4.80	0.225	0,645	0.62	0.97	0,975	2-9"						
6	432	0.425	1.46	4,805	5.1	0.275	0.70	0,655	0,985	1,055	ÿ==50°						
7	547	0,455	1.9	5,94	_	0.37	0.825	0.82	1,185	1,23							

Таблица б

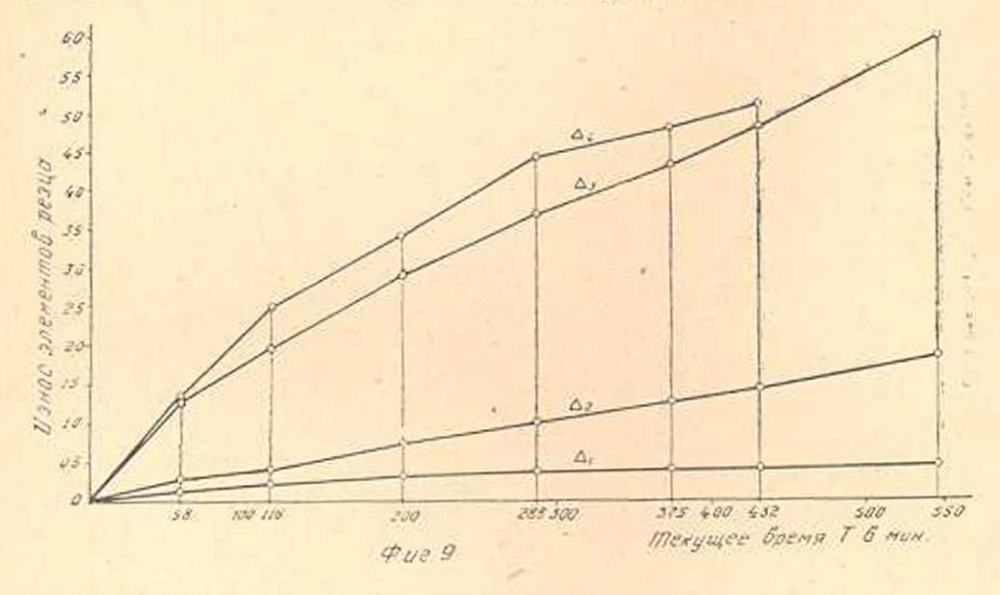
77			Изнашиваемые элементы резца												
NeNe u.n.	Текущее время в мин.	Δ_1	Δ2	7.7	70	0 ₁₁ — 2	а, — а,	p- "p	d _n —d'	e _n —c	Постоян- име факто- ры реза- ния.				
1	57	0,23	0,52	1.7	0,9	4	-	i baal		-	V=255 м/мни				
2	105	0,295	0,585	2,09	0,95		F2 - 1				t=6 .n.u				
3	207	0.415	0,99	3,51	1,81		Les	PH.			$\alpha = 8^{\circ}$				
4	300	0,51	1,39	4,34	2,285		1				$\phi = 50^{\circ}$				
5	365	0,52	1,75	4,35	2,485						7=0°				
6	415	0,53	1,85	-	2,75					20	λ=0°				
7	450	0,555	1,955		3,08			1 10							

Таблица 7

			100	Изнаш	иваем	ые эле	менты	резца			10
NeNe n.n.	Текущее время в мин.	Δ_1	73	7	۵. م	a a	ан —а′	р— пр	d,, —d°	э— "э	Постоян- ные факт ры реза- ния.
1	52	0,255	0.63	1.11	2,38	0,130	0,39	0,225	0.42	0,31	V=424 м/мин.
2	92	0,48	1.02	1,82	3,4	0,135	0,55	0,325	0,615	0.43	t=6 ses
2 3	132	0,55	1,37	2,44		0,26	0,79	0,455	0,815	0.55	α=10°
4	170	0.6	1,55	2,61	-	0,335	0,935	0,525	0.97	0.64	φ=46°
5	197	0,61	1,69	2,905	-	0.375	1,0	0,605	1,025	0,79	7-0*
6	236	0,7	2,01	3,3	-	0.42	1,12	0,685	1,185	0,89	λ=0*
7	250	0.71	2,12	3,49	100	0,48	1,19	0,895	1,195	1.11	L. Tell M.

Внимательное изучение процесса резания и закономерностей износа отдельных участков, имеющих стабильный характер при применении режущего инструмента одной и той же геометрии, а так же соответствующее реагирование площадок износа своими размерами и интенсивностью износа при незначительных изменениях геометрии резца, дают возможность установить оптимальную геометрию режущего инструмента. Само собой понятно, что для каждой зоны скорости резания будет иметь место своя, наиболее рекомендуемая геометрия. Проведенные исследования в данное время дают возможность управления этим весьма важным фактором.

На фиг. 9 приведены характер и динамика износа резца, работавшего при V=187 м/мин., t=6 мм и S=0,435 мм/зуб.



В условиях работы без наличия ограничивающих мощность резания факторов можно притти к следующей конкретной методике установления оптимальных режимов резания. В условиях эксплоатации камнефрезерного станка, оснащенного торцевой ступенчатой фрезой, когда весь припуск распределяется по тому или иному закону между зубьями фрезы, вопрос выбора глубины резания отпадает. Он имеет значение лишь при конструировании фрезы. В этом случае рекомендуется чистовым зубьям задать минимальную глубину резания для некоторого улучшения состояния кромок.

В тех же условиях вопросу выбора подачи необходимо уделить самое серьезное внимание. Дело в том, что величина подачи, влияя существенно на темпы развития площадок износа резца, одновременно резко отражается на качестве обработанной поверхности. Под качеством поверхности строительного камия, полученной при механической обработке, нужно понимать сочетание следующих ее свойств:

а) геометрические неровности на поверхности, образуемые в

результате сложения двух движений (главного и вспомогательного), совершаемых в процессе резания при данной геометрии зуба фрезы;

- б) степень изменения некоторых физико-механических свойств поверхностного слоя:
- в) глубина слоя, на которую распространились эти изменения. Степень неровности поверхности связана с подачей при данной скорости резания и геометрии резца следующим образом (см. табл. 8).

На изменение некоторых физикомеханических свойств поверхностного слоя (в части уплотнения поверхностього слоя, уменьшения, интенсивности водопоглощения и т. д.) весьма существенно влияет скорость резания. Увеличение скорости резания до 250 м/мин эти свойства улучшаются, а при дальнейшем повышении скорости эти улучшенные свойства сохраняются. На глубину слоя, на которую

	Таблица 8
Подача в мм/зуб.	Степень неров- ности поверх- ности в мм
S ₁ =0,2	± 0,05
S2-0,435	± 0,08
$S_1 = 1.0$	± 0,12
S4=2,2	± 0,27
$S_3 = 3.0$	± 0,39
$S_s = 3.0$	± 0,39

распространяются эти изменения, влияет состояние режущих кромок и, в частности, радиусы округления. В связи с этим выбор подачи должен быть согласован с требованиями, предъявляемыми качеству поверхности.

Что касается вопроса назначения скорости резания, то она должна быть принята в пределах от 150 до 250 м/мин., так как режущий инструмент, армированный твердым сплавом наиболее распространенной марки ВК-8, в этой зоне скоростей подвергается минимальному износу абразивного действия.*

Вопросы кинематики и динамики резания туфа более подробно будут освещены в ближайшее время.

Институт Строительных Материалов и Сооружений Поступило 15 VII 1948. Академии Наук Армянской ССР.

AUTEPATYPA

I. А. А. Аколов-Краткий анализ работы действующих в Армении туфорезных станков. Изв. АН Арм. ССР., т. І. № 4,343, 1948.

Все закономерности и выводы, описанные в данной работе, касаются артикского туфа.

B', 4, 4majm6 kd U. U. U. U.hamad

ՏՈՒՖ ՔԱՐԸ ԿՏՐԵԼՈՒ ՄԱՍԻՆ

U. U o n o n b U

Տուֆի մեխանիկական մշակման լարորատորիական հետադոտությունների հիման վրա հոդվածում շարագրված է նրա կարելու օպաիմալ ռեժիմի հարցը։

Գրաֆիկների և աղյուսակների միջոցով արված են՝ $[TV]_{yg}=f(V)$ $\frac{\mathrm{d}\Delta}{\mathrm{d}\tau}=f(V)~~ \mathbf{k}~~ \Delta=f(T,~V)~~ կապակցուβյունները.~~ միաժամանակ արված է նաև լարորատորիական ձևտաղոտությունների համառոտ անալիդը։$